

РАБОЧИЕ ХАРАКТЕРИСТИКИ ЭЛЕКТРОПРИВОДА КОЛЕБАТЕЛЬНОГО ДВИЖЕНИЯ С МАШИНОЙ ДВОЙНОГО ПИТАНИЯ

А.В. Аристов

Томский политехнический университет

E-mail: avv@ido.tpu.edu.ru

Представлены результаты исследований колебательных комплексов на основе электрических машин углового и линейного движения. Основное внимание уделено машинам двойного питания, работающим непосредственно в режиме вынужденных колебаний. Проведен анализ рабочих частотных, регулировочных и механических характеристик данного класса электроприводов, представлены новые алгоритмы управления, обеспечивающие резонансный режим работы.

В последнее время все большее распространение приобретают безредукторные колебательные электроприводы (КЭП), построенные на базе практически всех типов серийно выпускаемых электрических машин, работающих непосредственно в режиме периодического движения. Это обусловлено рядом таких преимуществ, как: исключение потерь энергии в дополнительных механических звеньях преобразования движения, снижение мощности управления и повышения надежности всей системы в целом. Простота и удобство сопряжения электрических машин с электронными узлами управления, возможность плавно и на ходу регулировать параметры механических колебаний при обеспечении высокой равномерности движения, широкий диапазон воспроизведения колебаний по частоте, амплитуде и форме – все это предопределяет бурное развитие и широкое применение КЭП на их основе [1].

Как правило, для создания колебательного режима работы используются те же принципы управления, что и в следящих системах, а именно, применение различных видов модуляции напряжений (токов) при питании обмоток исполнительных двигателей. Различают три основных вида модуляции: линейно-фазовую, балансно-амплитудную и балансно-частотную [2].

Все виды модуляции, положенные в основу возбуждения колебаний, имеет определяющее значение при построении конкретных, специализированных КЭП. Так, одновременно с преимуществами следящих систем по управляемости, такие способы возбуждения режима мягкого периодического реверса как амплитудный и частотный сохраняют и их основной недостаток – необходимость применения специальных задающих устройств периодических сигналов. С точки зрения режима работы электромеханического преобразователя, более выгодна в энергетическом отношении балансно-частотная модуляция питающих токов. Но, с другой стороны, управление электрической машиной требует двух регулируемых по частоте мощных генераторов тока, работающих отдельно на каждую из фаз обмотки исполнительного двигателя и управляемых от отдельных задающих устройств. Подключение одной из фаз двигателя непосредственно к сети в данном случае невозможно. Все это, как известно, приводит к значительному увеличению мощности управления. В итоге сложность и трудность создания управляемых по частоте генераторов с малой девиацией частоты сдерживает распространение КЭП с частотно-токовым управлением.

Наиболее перспективным следует признать использование линейно-фазовой модуляции, кото-

рая может быть реализована, например, за счет разноточастотного питания фаз исполнительного двигателя; при непрерывном изменении фазового сдвига между питающими напряжениями; путем питания одной из фаз постоянным, а других – переменным токами [2].

Фазовый способ возбуждения колебательного режима работы позволяет получить диапазоны плавного регулирования по амплитуде, частоте и положению нейтрали колебаний до четырех порядков, дает возможность создавать колебания без специальных задающих устройств периодических сигналов.

Одним из направлений повышения энергетических и динамических показателей колебательных электроприводов является построение их на основе машины двойного питания (МДП), когда одноименные статорные и роторные обмотки исполнительного двигателя соединены попарно параллельно [3]. При этом существенно возрастает КПД и мощность привода за счет компенсации инерционности нагрузки и формирования в колебательном двигателе синхронных свойств. В синхронном режиме мгновенные значения скорости изменения колебательного электромагнитного поля и подвижного элемента двигателя совпадают, скольжение отсутствует, что приводит к снижению потерь на нагрев, улучшению динамических показателей колебательной системы в целом.

Основные свойства колебательной машины двойного питания определяются рядом ее характеристик. В первую очередь к ним относятся амплитудно-фазочастотные кинематические (силовые), регулировочные и механические характеристики, которые могут быть получены для установившегося режима работы МДП на основании решения уравнения движения.

Однако выражения эти весьма громоздки и требуют при своем анализе большого объема вычислений, что делает затруднительным применение их для дальнейшего получения практических выводов. Поэтому, с целью наглядности и простоты исследования влияния параметров электрической машины, нагрузки и источников питания на рабочие характеристики МДП следует использовать ряд упрощающих допущений, в частности:

- рассматривать установившиеся режимы работы МДП, когда амплитуда колебаний подвижного элемента не превышает половины геометрического базового размера положения ротора (бегуна) обобщенного электродвигателя;
- если закон колебания подвижного элемента электродвигателя не имеет определяющего значения, то находить рабочие характеристики для первой гармоники колебаний;
- считать параметры нагрузки в процессе работы постоянными и независимыми от времени;
- при необходимости определять отклонение выходных параметров относительными или среднеквадратичными величинами.

С учетом вышесказанного, первую гармоническую составляющую обобщенного колебательного электромагнитного усилия можно представить, как

$$M_{эм,1}(t) = M_m \cdot \sin(\Omega t + \varphi),$$

где амплитуда M_m и фаза φ определяются выражениями

$$M_m = \left\{ \frac{f_{m0}^2 + f_{m1}^2 + f_{m2}^2 + \frac{2f_{m1}}{[1 + Z(\Omega)]^{0.5}} \times}{\times [f_{m0} + f_{m2} \cdot Z(\Omega)]} \right\}^{0.5};$$

$$\varphi = \arctg \frac{f_{m1} \sin \psi + f_{m2} \sin \alpha + f_{m0} \cos \alpha}{f_{m1} \cos \psi + f_{m2} \cos \alpha - f_{m0} \sin \alpha}.$$

Здесь, амплитуды первых гармонических составляющих эквивалентных пускового f_{m1} , демпфирующего f_{m0} и позиционного f_{m2} усилий, а также комплексный коэффициент нагрузки $Z(\Omega)$ и фаза Ψ рассчитываются для колебательного режима работы на частоте Ω по выражениям:

$$f_{m1} = \left[M_1^2 + M_3^2 \cdot J_0^2(\chi_m) + M_3^2 \cdot J_2^2(\chi_m) + \right. \\ \left. + 2M_1 \cdot M_3 \cdot J_0(\chi_m) \cos(\psi_1 - \psi_3) - \right. \\ \left. - 2M_1 M_3 J_2(\chi_m) \cos(\psi_1 + \psi_3 - 2\alpha) - \right. \\ \left. - 2M_3^2 \cdot J_0(\chi_m) \cdot J_2(\chi_m) \cos 2(\psi_3 - \alpha) \right]^{0.5};$$

$$f_{m0} = \Omega \cdot \chi_m \{N_1 + N_5 [J_0(\chi_m) + J_2(\chi_m)]\};$$

$$f_{m2} = 2M_5 \cdot J_1(\chi_m) \cdot \chi_m;$$

$$M_1 \sin \psi_1 + M_3 J_0(\chi_m) \sin \psi_3 - \\ + \arctg \frac{-M_3 J_2(\chi_m) \sin(2\alpha - \psi_3)}{M_1 \cos \psi_1 + M_3 J_0(\chi_m) \cos \psi_3 -}; \\ - M_3 J_2(\chi_m) \cos(2\alpha - \psi_3)$$

$$Z(\Omega) = (C_{мех}^{-1} + M_5 - L_{мех} \Omega^2) / (R_{мех} - N_1 - N_5) \Omega \quad (2)$$

В представленных формулах: $J_0(\chi_m)$, $J_1(\chi_m)$, $J_2(\chi_m)$ – функции Бесселя первого рода; χ_m , Ω , α – амплитуда, частота и начальная фаза установившегося закона колебаний; M_i – гармонические составляющие колебательного электромагнитного усилия; $L_{мех}$, $R_{мех}$, $C_{мех}^{-1}$ – коэффициенты инерционного, демпфирующего и позиционного усилий нагрузки.

Соотношения (1) и (2) являются базовыми и описывают совместно с законом движения координаты подвижного элемента МДП искомые амплитудно-фазочастотные кинематические $\chi_m(\Omega)$, $\alpha(\Omega)$, $\omega_m(\Omega)$ и силовые $M_m(\Omega)$, $\varphi(\Omega)$ характеристики, а также механические амплитудные ($\Omega = \text{var}$) и мгновенные ($t = \text{var}$) характеристики по координате $\chi_m(M_m)$; $\chi(M_{эм})$ и скорости $\omega_m(M_m)$; $\omega(M_{эм})$ для различных видов нагрузки. Они определяют и всю гамму регулировочных характеристик $\chi_m(\alpha, \Omega, \Psi_i)$, $\alpha(\alpha, \Omega, \Psi_i)$, $\omega_m(\alpha, \Omega, \Psi_i)$, $\delta(\alpha, \Omega, \Psi_i)$, $M_m(\alpha, \Omega, \Psi_i)$,

$\varphi(\alpha, \Omega, \Psi)$ при подстановке в них зависимостей f_{m0}, f_{m1} и f_{m2} от функций регулирования.

В виду того, что представленные соотношения являются трансцендентными уравнениями (первая гармоническая составляющая колебательного электромагнитного усилия выражена через амплитуду и фазу выходных колебаний), то методика определения рабочих характеристик сводится, по существу, к построению для заданных параметров электрической машины, нагрузки и функций регулирования семейства зависимостей

$$\begin{cases} M_m = f_1(\chi_m, \alpha); \\ \varphi = f_2(\chi_m, \alpha). \end{cases}$$

Методом последовательных приближений, в качестве первого из которых целесообразно выбирать первое приближение закона движения, рассчитанное согласно методики [4], по графикам производят доопределение значений M_m и φ , которые являются исходными данными для расчета новых значений χ_m и α

$$\chi_m = \frac{M_m}{\Omega(R_{\text{мех}} - f_{m0}) \cdot [1 + Z^2(\Omega)]^{0,5}};$$

$$\alpha = \varphi - \arctg \frac{1}{Z(\Omega)}.$$

Затем производят новое доопределение, и расчет повторяют до тех пор, пока не будет достигнута требуемая точность результатов расчета.

В качестве примера на рис. 1 приведены результаты совместного решения уравнений (1), (2) с помощью ПЭВМ при нагрузке $L_{\text{мех}} = 18,7$ о.е.; $R_{\text{мех}} = 2,0$ о.е.; $C_{\text{мех}}^{-1} = 0$ на частоте $\Omega = 0,1$ о.е. для различных значений начальной фазы α закона движения подвижного элемента двигателя.

Установлено, что при принятых допущениях вместо выражений (2) можно использовать при-

ближенные соотношения, определяющие составляющие колебательного электромагнитного усилия как

$$\begin{aligned} \bar{f}_{m0} &= N_1 + N_5; \quad \bar{f}_{m1} = \sqrt{M_1^2 + M_3^2}; \\ \bar{f}_{m2} &= M_5. \end{aligned}$$

Их максимальные отклонения от f_{m0}, f_{m1} и f_{m2} при $\chi_m \leq 1$ не превышают 12 %, что позволяет значительно облегчить анализ рабочих характеристик и дает вполне приемлемые для большинства инженерных расчетов результаты. Для первого приближения рабочие характеристики МДП представлены табл. 1, 2.

В качестве примера на рис. 2 приведены амплитудно-фазочастотные характеристики (АФЧХ) МДП, разработанной на базе серийного электродвигателя 4АК160S8УЗ, входящей в состав системы воспроизведения асимметричных колебаний вибротранспортной технологической установкой горизонтального снаряжения трубчатых изделий АЭС. Анализ их показывает, что при малом механическом демпфировании ($R_{\text{мех}} < 1$) на амплитудно-частотной характеристике (кривая 1) отчетливо наблюдается резонансный максимум, определяемый соотношением между электромагнитным позиционным усилием f_{m2} , развиваемым МДП и величиной инерционной нагрузки $L_{\text{мех}}$. Согласно принципа электромеханической аналогии, возрастающий участок АЧХ соответствует емкостному характеру нагрузки ($Z(\Omega) > 0$), а падающий – индуктивному ($Z(\Omega) < 0$). Наличие электромеханического резонанса приводит к изменению и обобщенного колебательного электромагнитного усилия. Оно также возрастает с увеличением частоты колебаний Ω , достигая своего максимального значения при $Z(\Omega) = 0$, после чего уменьшается. Кривые 2 на рис. 2 иллюстрируют включение МДП в режим асинхронного двигателя. Последний и предопределяет в конечном итоге характер АФЧХ. Однако следует заметить, что в режиме асинхронного

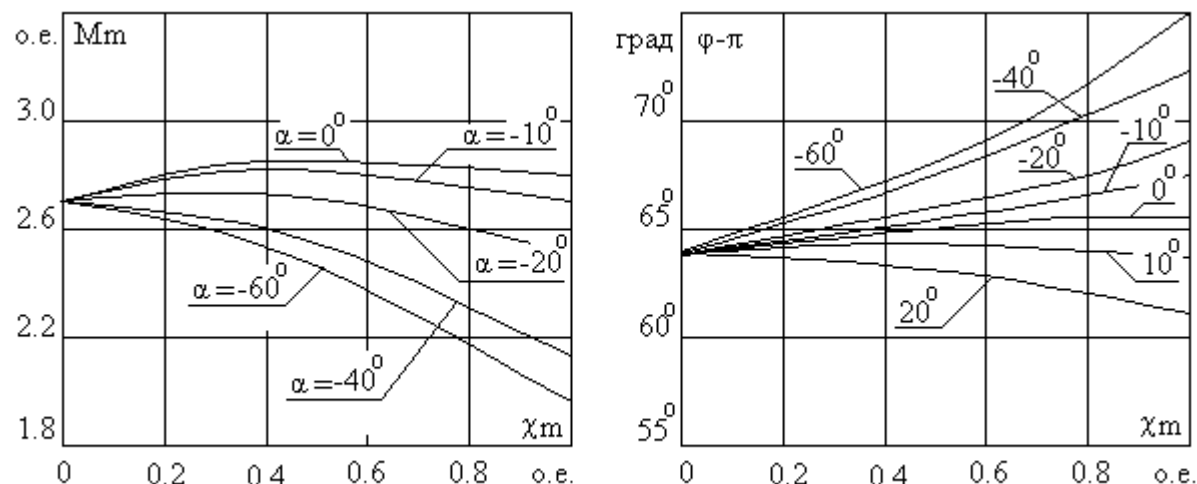


Рис. 1. Зависимости амплитуды и фазы первой гармонической составляющей обобщенного колебательного электромагнитного усилия от амплитуды и фазы колебания подвижного элемента МДП

Таблица 1. Рабочие частотные и регулировочные характеристики МДП при периодическом движении ротора (бегуна) для первого приближения

Наименование параметра		Виды нагрузок	
		$L_{\text{мех}} \neq 0; C_{\text{мех}}^{-1} \neq 0; R_{\text{мех}} \neq 0;$	$C_{\text{мех}}^{-1} = L_{\text{мех}} \Omega^2 - \bar{f}_{m2}$
Обобщенная координата положения $\chi(t)$	Амплитуда χ_m	$\frac{\bar{f}_{m1}}{\left[(C_{\text{мех}}^{-1} + \bar{f}_{m2} - L_{\text{мех}} \Omega^2)^2 + (R_{\text{мех}} - \bar{f}_{m0})^2 \Omega^2 \right]^{0,5}}$	$\frac{\bar{f}_{m1}}{[(R_{\text{мех}} - \bar{f}_{m0}) \Omega]}$
	Фаза α	$\arctg \frac{\sin \psi (C_{\text{мех}}^{-1} + \bar{f}_{m2} - L_{\text{мех}} \Omega^2) - \cos \psi (R_{\text{мех}} - \bar{f}_{m0}) \Omega}{\cos \psi (C_{\text{мех}}^{-1} + \bar{f}_{m2} - L_{\text{мех}} \Omega^2) + \sin \psi (R_{\text{мех}} - \bar{f}_{m0}) \Omega}$	$\psi - \frac{\pi}{2}$
Обобщенная скорость $\omega(t)$	Амплитуда ω_m	$\frac{\Omega \bar{f}_{m1}}{\left[(C_{\text{мех}}^{-1} + \bar{f}_{m2} - L_{\text{мех}} \Omega^2)^2 + (R_{\text{мех}} - \bar{f}_{m0})^2 \Omega^2 \right]^{0,5}}$	$\frac{\bar{f}_{m1}}{[R_{\text{мех}} - \bar{f}_{m0}]}$
	Фаза δ	$\arctg \frac{\sin \psi (C_{\text{мех}}^{-1} + \bar{f}_{m2} - L_{\text{мех}} \Omega^2) - \cos \psi (R_{\text{мех}} - \bar{f}_{m0}) \Omega}{\cos \psi (C_{\text{мех}}^{-1} + \bar{f}_{m2} - L_{\text{мех}} \Omega^2) + \sin \psi (R_{\text{мех}} - \bar{f}_{m0}) \Omega} + \frac{\pi}{2}$	ψ
Обобщенное электромагнитное усилие $M_{\text{эм}}(t)$	Амплитуда M_m	$\bar{f}_{m1} \left[\frac{(C_{\text{мех}}^{-1} - L_{\text{мех}} \Omega^2)^2 + R_{\text{мех}} \Omega^2}{(C_{\text{мех}}^{-1} + \bar{f}_{m2} - L_{\text{мех}} \Omega^2)^2 + (R_{\text{мех}} - \bar{f}_{m0})^2 \Omega^2} \right]^{0,5}$	$\bar{f}_{m1} \frac{(C_{\text{мех}}^{-1} - L_{\text{мех}} \Omega^2)^2 + R_{\text{мех}} \Omega^2}{(R_{\text{мех}} - \bar{f}_{m0}) \Omega}$
	Фаза φ	$\psi + \arctg \frac{\Omega [\bar{f}_{m0} (C_{\text{мех}}^{-1} - L_{\text{мех}} \Omega^2) + \bar{f}_{m2} R_{\text{мех}}]}{(C_{\text{мех}}^{-1} - L_{\text{мех}} \Omega^2)(C_{\text{мех}}^{-1} + \bar{f}_{m2} - L_{\text{мех}} \Omega^2) + R_{\text{мех}} (R_{\text{мех}} - \bar{f}_{m0}) \Omega^2}$	$\arctg \frac{\bar{f}_{m0} (C_{\text{мех}}^{-1} - L_{\text{мех}} \Omega^2) \bar{f}_{m2} R_{\text{мех}}}{R_{\text{мех}} (R_{\text{мех}} - \bar{f}_{m0}) \Omega} + \psi$

Таблица 2. Механические характеристики МДП по координате положения и скорости при периодическом движении ротора (бегуна)

Наименование		Виды нагрузок	
		$L_{\text{мех}} \neq 0; C_{\text{мех}}^{-1} \neq 0; R_{\text{мех}} \neq 0$	$C_{\text{мех}}^{-1} = L_{\text{мех}} \Omega^2$
Амплитудные	$\chi_m(M_m)$	$M_m [(C_{\text{мех}}^{-1} - L_{\text{мех}} \Omega^2)^2 + R_{\text{мех}}^2 \Omega^2]^{-0,5}$	$\frac{M_m}{R_{\text{мех}} \Omega}$
	$\omega_m(M_m)$	$M_m \Omega [(C_{\text{мех}}^{-1} - L_{\text{мех}} \Omega^2)^2 + R_{\text{мех}}^2 \Omega^2]^{-0,5}$	$\frac{M_m}{R_{\text{мех}}}$
Мгновенные (эллипс)	$\chi(M_{\text{эм1}})$	$\frac{\chi_m^2}{\chi_m^2} [1 + Z_{\text{мех}}^2(\Omega)] + \frac{M_{\text{эм1}}^2}{M_m^2} [1 + Z_{\text{мех}}^2(\Omega)] - 2 \frac{M_{\text{эм}} \chi}{M_m \chi_m} Z_{\text{мех}}(\Omega) [1 + Z_{\text{мех}}^2(\Omega)]^{0,5} = 1$	$\frac{\chi^2}{\chi_m^2} + \frac{M_{\text{эм1}}^2}{M_m^2} = 1$
	$\omega(M_{\text{эм1}})$	$\frac{\omega_m^2}{\omega_m^2} \left[1 + \frac{1}{Z_{\text{мех}}^2(\Omega)} \right] + \frac{M_{\text{эм1}}^2}{M_m^2} \left[1 + \frac{1}{Z_{\text{мех}}^2(\Omega)} \right] - 2 \frac{M_{\text{эм}} \omega}{M_m \omega_m} \frac{1}{Z_{\text{мех}}^2(\Omega)} [1 + Z_{\text{мех}}^2(\Omega)]^{0,5} = 1$	–

Таблица 3. Условия обеспечения резонансного режима работы МДП при регулировании частоты колебаний Ω при $L_{\text{мех}} \neq 0; C_{\text{мех}}^{-1} = 0$

	$\alpha_1 = \alpha_2 = \alpha_3 = \alpha_4 = \alpha$	$\alpha_1 = \alpha$ $\alpha_2 = \alpha_3 = \alpha_4 = 1$	$\alpha_1 = \alpha_3 = \alpha$ $\alpha_2 = \alpha_4 = 1$	$\alpha_3 = \alpha_4 = \alpha$ $\alpha_1 = \alpha_2 = 1$
$\Omega = \left[\frac{C_{\text{мех}}^{-1} + f_2}{L_{\text{мех}}} \right]^{0,5}$	$\frac{\Omega}{\alpha} = \text{const}$ $\frac{\Omega}{\alpha} = \left[\frac{0.5(\rho_{18} - \rho_{17})}{L_{\text{мех}}} \right]^{0,5}$	$\Omega = \left[\frac{0.5(\alpha \rho_{18} - \rho_{17})}{L_{\text{мех}}} \right]^{0,5}$	$\Omega = \left[\frac{0.5(\alpha^2 \rho_{18} - \rho_{17})}{L_{\text{мех}}} \right]^{0,5}$	$\frac{\Omega}{\sqrt{\alpha}} = \text{const}$ $\frac{\Omega}{\sqrt{\alpha}} = \left[\frac{0.5(\rho_{18} - \rho_{17})}{L_{\text{мех}}} \right]^{0,5}$

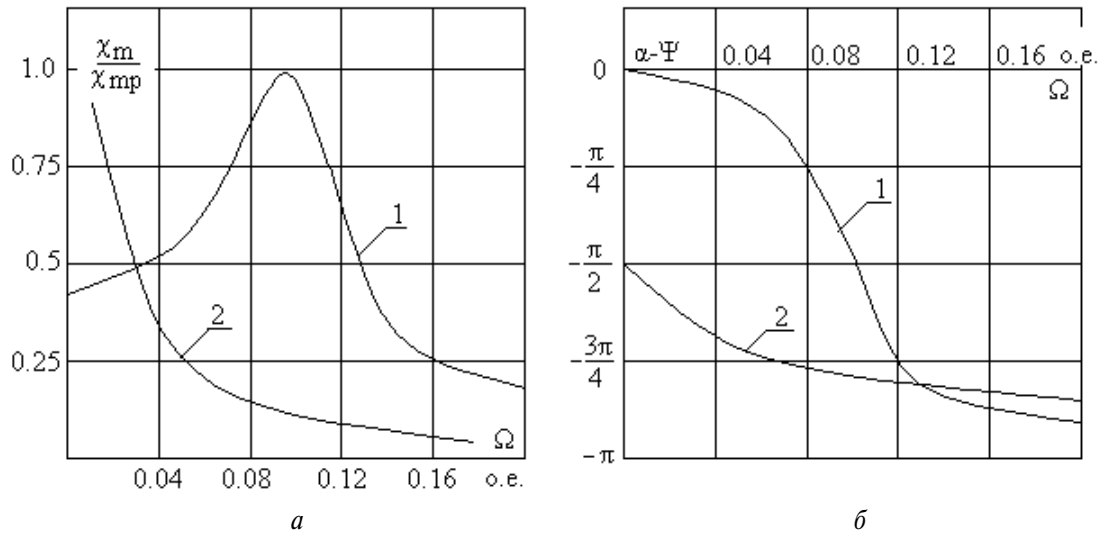


Рис. 2. Амплитудно-фазочастотные кинематические характеристики МДП при $L_{\text{мех}}=18,73$ о.е.; $R_{\text{мех}}=2,0$ о.е.; $C_{\text{мех}}^{-1}=0$

двигателя амплитудно-частотная силовая характеристика отличается от известной [1], так как учитывает механическое демпфирование нагрузки. В частности она имеет хотя и слабый, но падающий характер. Этот факт позволяет заключить о возможности синтезировать для некоторого частотного диапазона колебательный электропривод, инвариантный по усилию к частоте колебаний при $f_{m0} = 0$.

Амплитудные механические характеристики представляют собой не замкнутые кривые, а относительные и абсолютные мгновенные (рис. 3) – эллипсы. Независимо от режима работы МДП они занимают четыре квадранта и повернуты относительно начала координат соответственно на угол $\pi/4$ и угол

$$\alpha_{\text{эл}} = 0,5 \arctg \frac{4M_m \cdot \omega_m}{M_m^2 - \omega_m^2} \cdot \sqrt{1 + Z_{\text{мех}}^2} (\Omega).$$

В отличие от амплитудных механических характеристик и абсолютных мгновенных – относительные мгновенные механические характеристики представляют собой нагрузочные линии при колебательном режиме работы МДП и не связаны с ее параметрами.

Регулировочные характеристики наряду с механическими являются основными характеристиками исполнительных двигателей, работающих в режиме периодического реверса. Одним из главных требований, предъявляемым к ним, является линейность – прямая пропорциональная зависимость выходных параметров МДП от функций регулирования. Однако, как правило, это требование не выполняется. В первую очередь это связано с тем, что составляющие пускового f_{m1} , демпфирующего f_{m0} и позиционного f_{m2} усилий, определяющие в конечном итоге характер изменения выходных параметров МДП, являются нелинейными функциями от

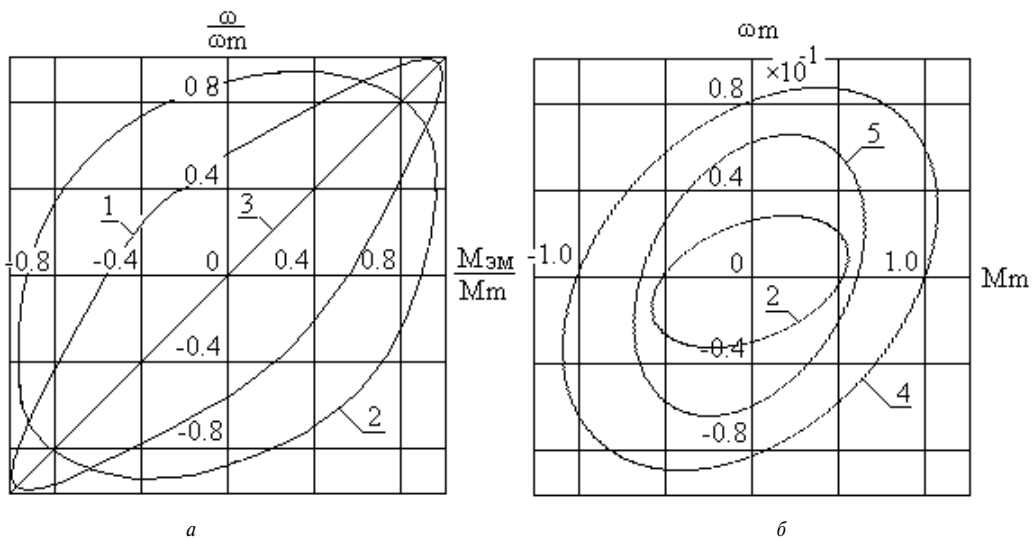


Рис. 3. Мгновенные относительные а) и абсолютные б) механические характеристики МДП по скорости при $L_{\text{мех}}=123$ о.е.; $R_{\text{мех}}=3,19$ о.е.; $C_{\text{мех}}^{-1}=0$; $\Omega=0,02$ (1), $\Omega=0,18$ (2), $\Omega=0,1$ (3), $\Omega=0,1$ (4), $\Omega=0,08$ (5) и $C_{\text{мех}}^{-1}=1,23$ о.е.

коэффициента сигнала управления α_i . Причем нелинейность составляющих колебательного электромагнитного усилия зависит существенным образом от того, как и по каким из обмоток исполнительного двигателя производится регулирование. Во-вторых, выходные параметры колебательного электродвигателя, в свою очередь, сами являются нелинейными функциями f_{m0} и f_{m2} . Проведенный анализ способов регулирования показал возможность пропорционального регулирования некоторых из составляющих колебательного электромагнитного момента. В частности, при симметричном регулировании по одноименным обмоткам первичного и вторичного элементов обеспечивается пропорциональное регулирование амплитуды эквивалентного пускового усилия МДП, а при регу-

лировании только по обмоткам ротора – составляющей электромагнитного позиционного усилия. Однако, несмотря на возможность реализации прямо-пропорционального регулирования составляющих колебательного момента линейность для $\chi_m(\alpha_i)$ не обеспечивается.

Возможность варьирования позиционным колебательным электромагнитным моментом позволяет регулировать собственную частоту колебаний КЭП, а, следовательно, поддерживать в заданном частотном диапазоне работы МДП энергетически выгодный резонансный режим работы. В связи с этим, в табл. 3 представлены алгоритмы обеспечения резонансного режима работы МДП ($Z(\Omega)=0$) при изменениях частоты колебаний Ω для различных способов регулирования.

СПИСОК ЛИТЕРАТУРЫ

1. Аристов А.В. Электропривод колебательного движения с машиной двойного питания. — Томск: ИПФ ТПУ, 2000. — 176 с.
2. Луковников В.И. Электропривод колебательного движения. — М.: Энергоатомиздат, 1984. — 152 с.
3. А. с. 1307530 СССР. Электропривод колебательного движения / А.В. Аристов и др. // Б.И. 1987. — № 16.
4. Аристов А.В., Аристов В.В. Исследование уравнения низкочастотного колебательного движения машины двойного питания // Электротехника. — 1994. — № 11. — С. 28–31.